

6. Shen S., Ding F., Han J., Lin Y.L., Arya S.P., Proctor F.H. *Numerical modeling studies of wake vortices: real case simulations* // AIAA Paper 99-0755. – 1999. – 16 p.

7. Harris M., Vaughan J.M., Huenecke K., Huenecke C. *Aircraft wake vortices: a comparison of wake-tunnel data with field trial measurements by laser radar* // Aerosp. Sci. Technol. – 2000. – No 4. – P. 363-370.

8. Huenecke K. *Wake vortex investigation of transport aircraft at high-lift* // Euromech Colloquium 433. – Aachen, Germany, 2002.

М. Ю. Гарнышев, А. Б. Мазо

*Казанский (Приволжский) федеральный университет,
Marat.Garnyshev@ksu.ru, Alexander.Mazo@ksu.ru*

МОДЕЛЬ ДВУХФАЗНОЙ ФИЛЬТРАЦИИ В ПЛАСТАХ С ПРОНИЦАЕМОЙ ПОДОШВОЙ

Введение

Современные методы моделирования разработки нефтяных месторождений основаны на численном решении полных трехмерных уравнений подземной гидромеханики [1]. Такой подход требует больших затрат вычислительных ресурсов. Поэтому проблема построения упрощенных математических моделей сохраняет актуальность. В настоящей статье предлагается упрощенная плоская модель, учитывающая вертикальные потоки, обусловленные фильтрацией воды сквозь слабопроницаемую подошву.

1. Постановка задачи

Рассмотрим пласт, ограниченный боковым контуром Γ и цилиндрическими поверхностями вертикальных скважин γ_k , на которых заданы давления p_k . Коллектор толщиной H заполнен двухфазным флюидом из воды и нефти; он отделен от подстилающей водонасыщенной породы слабопроницаемой подошвой с абсолютной проницаемостью k_b и толщиной H_b . Вода, поступающая в пласт через подошву, образует тонкий водонасыщенный слой $0 < z < h(x, y, t)$, по которому фильтруется под действием градиента давления, общего для этого слоя и вышележащего основного коллектора $h < z < H$ сток под подошву возможен только из слоя h . Считается, что подошва обеспечивает такую гидроизоляцию, что давление на границе $z = -H_b$ постоянно и равно гидростатическому p_Γ .

Модель фильтрации через подошву основана на допущении, что через подошву движется только вода, причем она поступает из-под подошвы в пласт, если давление $p(x, y, 0) < p_\Gamma$, и обратно при $h > 0$ и $p(x, y, 0) > p_\Gamma$. Формально это можно представить следующим выражением для скорости:

$$\begin{aligned} w_b &= -\frac{k_b}{\mu_w} \frac{p(x, y, 0) - p_\Gamma}{H_b} \varphi(p - p_\Gamma, h), \\ \varphi(p, h) &= 1 - \tilde{h}(p)(1 - \tilde{h}(h)), \end{aligned} \quad (1)$$

где μ_w — вязкость воды, \tilde{h} — функция Хевисайда. Вектор скорости будем обозначать как

$$\mathbf{V} = (u, v, w) = (\vec{V}, w), \quad \vec{V} = (u, v).$$

Модель двухфазной фильтрации при постоянных плотностях без учета капиллярных и гравитационных сил [1] включает уравнения неразрывности фаз

$$\frac{\partial (ms)}{\partial t} + \operatorname{div} \mathbf{V}_w = 0, \quad (2)$$

$$\frac{\partial [m(1-s)]}{\partial t} + \operatorname{div} \mathbf{V}_o = 0, \quad (3)$$

закон Дарси для скоростей фильтрации фаз

$$\mathbf{V}_w = -\frac{kk_w}{\mu_w} \operatorname{grad} p, \quad \mathbf{V}_o = -\frac{kk_o}{\mu_o} \operatorname{grad} p \quad (4)$$

и линейную зависимость пористости m от давления

$$\frac{\partial m}{\partial t} = \beta \frac{\partial p}{\partial t}. \quad (5)$$

Здесь k — абсолютная проницаемость, μ_o — вязкость нефти, β — упругоемость, s — водонасыщенность, k_w и k_o — относительные фазовые проницаемости воды и нефти. Как известно [2], s изменяется от s_* до s^* , при этом функция $k_w(s)$ монотонно возрастает от 0 до 1, а $k_o(s)$ убывает от 1 до 0.

Кинематическое уравнение для толщины водонасыщенного слоя h имеет следующий вид:

$$m \frac{\partial h}{\partial t} + \vec{V}(h) \cdot \nabla h = w(h) \equiv w(x, y, h), \quad \nabla = \left(\frac{\partial}{\partial x}, \frac{\partial}{\partial y} \right). \quad (6)$$

Для построения упрощенной модели введем средние значения давления

$$\bar{p} = \frac{1}{h} \int_0^h p dz, \quad \langle p \rangle = \frac{1}{H-h} \int_h^H p dz \quad (7)$$

по толщине водонасыщенного слоя и основного коллектора; осреднение (7) будем применять и для других параметров потока. Получим уравнения для средних. Для этого проинтегрируем (2) по z от 0 до h с учетом (5). Поскольку в водонасыщенном слое $s = s^*$, получаем

$$s^* \beta \left\{ \frac{\partial}{\partial t} (h \bar{p}) - p(h) \frac{\partial h}{\partial t} \right\} + \nabla \cdot (h \bar{\vec{V}}) - \vec{V}(h) \cdot \nabla h + w(h) - w_b = 0.$$

Заменяя $w(h)$ с помощью (6), приходим к уравнению для толщины водонасыщенного слоя

$$m \frac{\partial h}{\partial t} + \nabla \cdot (h \bar{\vec{V}}) = w_b - s^* \beta \left\{ \frac{\partial}{\partial t} (h \bar{p}) - p(h) \frac{\partial h}{\partial t} \right\}. \quad (8)$$

Последний член в правой части (8) мал и в дальнейшем учитываться не будет.

Выведем далее уравнение для среднего давления в коллекторе. Для этого сложим уравнения (2) и (3) и проинтегрируем по z от h до H . С использованием формулы (5) получим

$$\beta \frac{\partial}{\partial t} \{ (H - h) \langle p \rangle \} + \beta p(h) \frac{\partial h}{\partial t} + \nabla \cdot \{ (H - h) \langle \vec{V} \rangle \} - \\ - \vec{V}(H) \cdot \nabla H + \vec{V}(h) \cdot \nabla h + w(H) - w(h) = 0.$$

Последние два члена этого уравнения с учетом (6) можно записать как

$$w(H) - w(h) = \vec{V}(H) \cdot \nabla H - \vec{V}(h) \cdot \nabla h - m \frac{\partial h}{\partial t}. \quad (9)$$

В результате будем иметь

$$\beta \frac{\partial}{\partial t} \{ (H - h) \langle p \rangle \} + \beta p(h) \frac{\partial h}{\partial t} + \nabla \cdot \{ (H - h) \langle \vec{V} \rangle \} - m \frac{\partial h}{\partial t} = 0.$$

После несложных преобразований с использованием уравнения (8) получим

$$\beta (H - h) \frac{\partial \langle p \rangle}{\partial t} + \nabla \cdot \{ (H - h) \langle \vec{V} \rangle + h \bar{\vec{V}} \} = \\ = w_b - \beta [p(h) - \langle p \rangle] \frac{\partial h}{\partial t}. \quad (10)$$

Последним членом уравнения (10) в дальнейшем пренебрегаем, поскольку β мало, а $p(h) \approx \langle p \rangle$. Для того чтобы из (10)

получить уравнение для давления, выразим w_b , $\langle \vec{V} \rangle$ и \vec{V} с помощью определений (1) и (4) через $\langle p \rangle$. В первом приближении можем записать

$$w_b = -\frac{k_b}{\mu_w} \frac{\langle p \rangle - p_\Gamma}{H_b} \varphi(\langle p \rangle - p_\Gamma, h); \quad (11)$$

$$\langle \vec{V} \rangle = -\sigma \langle \langle s \rangle \rangle \nabla \langle p \rangle; \quad \sigma = \frac{k k_w}{\mu_w (k_w + K_\mu k_o)}; \quad K_\mu = \frac{\mu_w}{\mu_o}. \quad (12)$$

$$\vec{V} = -\frac{k}{\mu_w} \nabla \langle p \rangle. \quad (13)$$

Осталось получить уравнение для средней водонасыщенности в основном коллекторе. Проинтегрировав (2) по z от h до H , получим

$$\begin{aligned} \frac{\partial}{\partial t} \{ (H-h) \langle ms \rangle \} + m(h) s(h) \frac{\partial h}{\partial t} + \nabla \cdot \{ (H-h) \langle \vec{V}_w \rangle \} - \\ - \vec{V}_w(H) \cdot \nabla H + \vec{V}_w(h) \cdot \nabla h + w_w(H) - w_w(h) = 0. \end{aligned} \quad (14)$$

По аналогии с формулой (9) последние два члена могут быть записаны в виде

$$\vec{V}_w(H) \cdot \nabla H - \vec{V}_w(h) \cdot \nabla h - m(h) \frac{\partial h}{\partial t},$$

и поэтому, с учетом $s(h) = s^*$,

$$\begin{aligned} \frac{\partial}{\partial t} \{ (H-h) \langle ms \rangle \} + \nabla \cdot \{ (H-h) \langle \vec{V}_w \rangle \} = \\ = m(1-s^*) \frac{\partial h}{\partial t}. \end{aligned} \quad (15)$$

Допуская, что $\langle ms \rangle \approx \langle m \rangle \langle s \rangle$ и $m(h) \approx \langle m \rangle$, перепишем (15) в следующем виде:

$$\begin{aligned} \langle m \rangle \frac{\partial}{\partial t} \{ (H-h) \langle s \rangle \} + \nabla \cdot \{ (H-h) \langle f \vec{V} \rangle \} = \\ = \langle m \rangle (1-s^*) \frac{\partial h}{\partial t} - \langle s \rangle (H-h) \beta \frac{\partial \langle p \rangle}{\partial t}. \end{aligned} \quad (16)$$

Здесь используется равенство $\vec{V}_w = f(s)\vec{V}$, в котором

$$f(s) = \frac{k_w(s)}{k_w(s) + K_\mu k_o(s)}. \quad (17)$$

Правая часть (16) мала при $h \ll H$, $s^* \sim 1$ и малых β ; в дальнейшем ее не учитываем.

Итак, упрощенная модель фильтрации в пласте с проницаемой подошвой содержит три уравнения: для толщины слоя (8), для давления (10) – (13) и насыщенности (16), (17). Перепишем их в безразмерных переменных:

$$\begin{aligned} \tilde{x}, \tilde{y} &= \frac{x, y}{L}, \quad \tilde{t} = \frac{t}{t^0}, \quad \tilde{h} = \frac{h}{H^0}, \quad \tilde{H} = \frac{H}{H^0}, \quad \tilde{p} = \frac{\langle p \rangle - p_\Gamma}{p^0 - p_\Gamma}, \\ \tilde{\vec{V}} &= \frac{\langle \vec{V} \rangle}{V^0}, \quad \tilde{\vec{V}}_h = \frac{\vec{V}}{V^0}, \quad \tilde{s} = \frac{\langle s \rangle - s_*}{s^* - s_*}, \quad \phi(s) = k_w + K_\mu k_o; \\ \sigma^0 &= \frac{k}{\mu_w}, \quad p^0 = p_w, \quad V^0 = \sigma^0 \frac{p^0 - p_\Gamma}{L}, \quad t^0 = \frac{m^0(s^* - s_*)L}{v^0}. \end{aligned} \quad (18)$$

В задаче появляются три безразмерных критерия

$$\alpha = \frac{L^2 k_b}{H^0 H_b k^0}, \quad \varepsilon = \frac{\beta (p^0 - p_\Gamma)}{m^0 (s^* - s_*)}, \quad K_\mu = \frac{\mu_w}{\mu_o}. \quad (19)$$

Подставив (18), (19) в уравнения (8), (10) и (16), опустив тильду над безразмерными величинами, окончательно получим следующую упрощенную формулировку.

Уравнение для толщины водонасыщенного слоя:

$$\left(\frac{1}{s^* - s_*} \right) \frac{\partial h}{\partial t} + \nabla \cdot (h \vec{V}_h) = -\alpha p \varphi(p, h); \quad \vec{V}_h = -\nabla p; \quad (20)$$

уравнение для давления

$$\varepsilon (H - h) \frac{\partial p}{\partial t} - \nabla \cdot \{ [(H - h) \phi(s) + h] \nabla p \} + \alpha p \varphi(p, h) = 0; \quad (21)$$

уравнение для водонасыщенности

$$\frac{\partial}{\partial t} [(H - h) s] + \nabla \cdot [(H - h) f(s) \vec{V}] = 0; \quad \vec{V} = -\phi(s) \nabla p. \quad (22)$$

2. Результаты расчета

Задача решалась в радиально-симметричной постановке с расчетной круговой областью единичного радиуса и одной добывающей скважиной радиуса r_w в центре, на которой задано давление $p = -1$. В этом случае скорость фильтрации направлена от периферии к центру, входная граница Γ определяется равенством $r = 1$, где задаются давление $p = p_\Gamma \geq 0$ и водонасыщенность $s = s_\Gamma \geq 0$. Кроме того, задавались $H \equiv 1$, $s^* = 1$, $s_* = 0$ и кубические фазовые проницаемости $k_w(s) = s^3$, $k_o(s) = (1 - s)^3$. Расчет проводился с параметрами $\epsilon = 0.01$, $\alpha = 0.5$, $K_\mu = 0.01$, $r_w = 0.001$ при двух граничных значениях водонасыщенности $s_\Gamma = 0, 1$ и давления $p_\Gamma = 0, 0.05$.

При $s_\Gamma = 0$ уравнение (22) вырождается в равенство $s \equiv 0$. В случае, когда $s_\Gamma = 1$, наблюдается продвижение фронта водонасыщенности от контура к скважине. Характер и скорость движения фронта близки к классическим [2].

На рис. 1 показаны толщина водонасыщенного слоя и скорость притока воды из-под подошвы на момент $t = 100$. Видно, что при $p_\Gamma = 0.05$ появляется участок $r \in [0.6, 1]$, где $h = 0$ и $w_b = 0$, который соответствует условию $p > 0$.

В заключение укажем на интересный эффект немонотонного поведения функции $h(r)$, который отчетливо проявляется при $K_\mu = 1$, см. рис. 2. Локальный максимум толщины слоя h в окрестности фронта насыщенности объясняется скачком градиента давления и, как следствие, торможением потоком воды

за фронтом. Вид функции s при этом заметно отличается от классического.

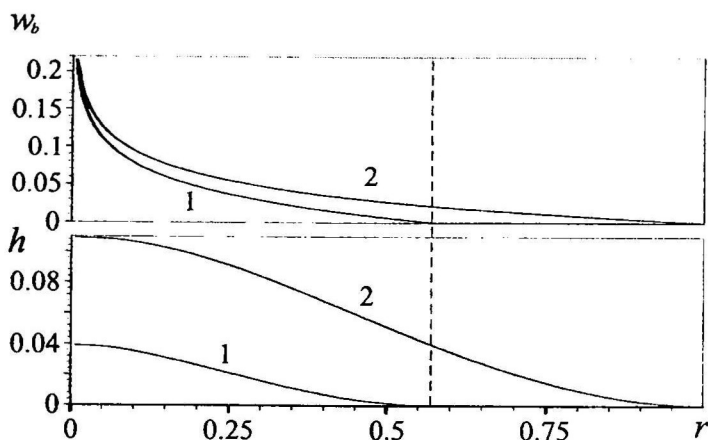


Рис. 1. Скорость воды через подошву (вверху) и толщина слоя h (внизу) при $p_{\Gamma} = 0.05$ (кривая 1) и $p_{\Gamma} = 0$ (кривая 2)

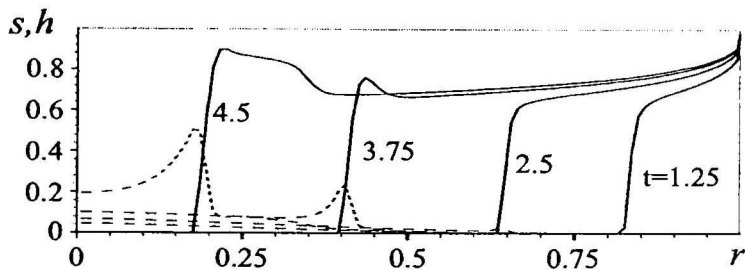


Рис. 2. Динамика водонасыщенности (сплошная линия) и толщины слоя h (штриховая линия) при $s_{\Gamma} = 1$, $p_{\Gamma} = 0.05$ и $K_{\mu} = 1$

Работа выполнена при финансовой поддержке РФФИ (проекты 08-01-00548а и 10-01-00629).

ЛИТЕРАТУРА

1. Азиз Х., Сеттари Э. *Математическое моделирование пластовых систем*. – М.: Недра, 1982. – 408 с.
2. Баренблатт Г. И., Ентов В. М., Рыжик В. М. *Движение жидкостей и газов в пористых пластах*. – М.: Недра, 1984. – 208 с.

В. П. Житников, Р. Р. Муксимова, Е. М. Ошмарина

Уфимский государственный авиационный технический университет, zhitnik@ugatu.ac.ru, ronika007@mail.ru, elena_azalka@mail.ru

МОДЕЛИРОВАНИЕ ПРОЦЕССОВ НЕСТАЦИОНАРНОГО ЭЛЕКТРОХИМИЧЕСКОГО ФОРМООБРАЗОВАНИЯ ПРИМЕНИТЕЛЬНО К ПРЕЦИЗИОННЫМ ТЕХНОЛОГИЯМ

Введение

Исследование электрохимического формообразования представляет большой интерес в связи с широким использованием электрохимической размерной обработки (ЭХО) в различных отраслях промышленности. В последнее время активно развиваются технологии прецизионной обработки различных металлов и сплавов, включая нанотехнологии, с помощью импульсной ЭХО вибрирующим электрод-инструментом (ЭИ). Для этого используют различные способы, увеличивающие локализацию растворения и точность копирования.